

HUMAN ACTIVITY RECOGNITION REPORT: MACHINE LEARNING & EMBEDDINGS

INNOVATIVE ACADEMIC RESEARCH



RELATÓRIO DE
CLASSIFICAÇÃO DE
ATIVIDADES HUMANAS

Akcel Soares da Graça
Yel
Edson Alage

ÍNDICE

Resumo.....	4
Abstract.....	5
Introdução.....	6
Problema	8
Metodologia.....	14
Resultados.....	16
Parte A	16
3.1. Boxplots.....	16
3.2. Densidade de outlier.....	17
3.3. Z-Score.....	18
3.4. Grafico outlier.....	18
3.6. K-means.....	20
3.7. Grafico 3D.....	20
4.1. Estatistica.....	23
4.2. Extração de features.....	24
4.3. PCA.....	25
4.6. Fisher Score vs ReliefF.....	26
Parte B.....	26
1.1.Distribuição das Atividades.....	26
1.3. SMOTE.....	27
5.Evaluation	28
Análise de Resultados.....	29
Parte A	29
3.1. Análise dos Boxplots.....	29
3.2. Análise da densidade de outliers.....	29
3.4. Deteção de Outliers - Z-Score.....	29
3.5. Comparação entre Boxplot (IQR) e Z-Score.....	30
3.7. Deteção de Outliers - K-Means.....	30
4.1. Teste estatistico.....	30
4.4. Análise de Componentes Principais (PCA).....	31
4.5. Fisher Score e ReliefF.....	31
4.6.1. Processo de Obtenção das Feature(PCs).....	32
4.6.2. Vantagens e limitações	33
Parte B.....	33
1. Data augmentation.....	33

1.Data Augmentation e Equilíbrio de Classes.....	33
2.Features Manuais vs. Embeddings.....	33
3. Estratégia de Divisão e Avaliação (Inter-sujeitos).....	34
4. Análise da Matriz de Confusão.....	35
5.Validação Estatística (Teste de Hipótese).....	35
6. Deployment.....	36
Conclusão.....	37
Referências.....	39

RESUMO

O presente relatório descreve o desenvolvimento de uma pipeline completa de Engenharia de Características e Aprendizagem Computacional (Machine Learning) para o reconhecimento de atividades humanas (HAR), utilizando o dataset FORTH-TRACE. O trabalho divide-se em duas fases complementares. Na primeira fase (Módulo A), o foco incidiu na preparação e análise exploratória de dados recolhidos por sensores inerciais e magnéticos. Foram aplicadas técnicas de deteção de outliers univariadas (IQR, Z-Score) e multivariadas (K-Means), seguidas da extração de características temporais e espaciais, redução de dimensionalidade (PCA) e seleção de atributos (Fisher Score e ReliefF). Na segunda fase (Módulo B), o sistema evoluiu para a classificação automática das atividades (restrito às classes 1 a 7). Foram implementadas técnicas de aumento de dados (Data Augmentation) com SMOTE para corrigir o desequilíbrio de classes e explorou-se o uso de Transfer Learning, comparando features manuais clássicas com embeddings extraídos por um modelo de Deep Learning (harnet5). A avaliação do classificador k-Nearest Neighbors (kNN), utilizando uma estratégia rigorosa de validação inter-sujeitos (Between-Subjects), revelou que as features manuais obtiveram um desempenho estatisticamente superior (acurácia média de ~59.9%) em comparação com os embeddings (~47.5%), destacando-se a dificuldade do sistema em distinguir atividades que envolvem a ação de falar.

ABSTRACT

This report describes the development of a complete Feature Engineering and Machine Learning pipeline for Human Activity Recognition (HAR), employing the FORTH-TRACE benchmark dataset. The work is divided into two complementary phases. In the first phase (Module A), the focus was on the preparation and exploratory analysis of data collected by inertial and magnetic sensors. Univariate (IQR, Z-Score) and multivariate (K-Means) outlier detection techniques were applied, followed by the extraction of temporal and spectral characteristics, dimensionality reduction (PCA), and attribute selection (Fisher Score and ReliefF). In the second phase (Module B), the system evolved towards the automatic classification of activities (restricted to classes 1 to 7). Data Augmentation techniques using SMOTE were implemented to address class imbalance, and the use of Transfer Learning was explored by comparing classic hand-crafted features with embeddings extracted by a Deep Learning model (harnet5). The evaluation of the k-Nearest Neighbors (kNN) classifier, using a rigorous Between-Subjects validation strategy, revealed that manual features yielded statistically superior performance (average accuracy of ~59.9%) compared to embeddings (~47.5%), highlighting the system's difficulty in distinguishing activities that involve the action of talking.

Keywords: Human Activity Recognition, Feature Engineering, Machine Learning, Outlier Detection, Transfer Learning, kNN.

INTRODUÇÃO

O reconhecimento de atividades físicas humanas (Human Activity Recognition - HAR) a partir de sensores vestíveis (wearables) tem ganho crescente importância em áreas como a monitorização de saúde, desporto, segurança e interação homem-máquina. Para que estes sistemas consigam identificar atividades com elevada precisão e capacidade de generalização para novos utilizadores, é essencial não apenas compreender a natureza dos sinais, mas também implementar modelos de classificação robustos.

O conjunto de dados utilizado neste trabalho corresponde ao dataset FORTH-TRACE, que contém regtos de acelerómetro, giroscópio e magnetómetro recolhidos em cinco posições do corpo. Estes sinais apresentam desafios típicos, como ruído, valores anómalos e alta dimensionalidade.

O problema central que este trabalho se propõe a resolver evoluiu de uma análise exploratória para uma questão de classificação supervisionada: "Como processar sinais de sensores e treinar modelos capazes de distinguir, com precisão, diferentes atividades humanas em novos utilizadores?"

Para responder a esta questão, o trabalho foi estruturado em dois módulos principais:

Parte A - Engenharia de Características: Focou-se na análise estatística, tratamento de outliers e transformação dos dados brutos num conjunto de características (features) descritivas.

1. Recolha e estruturação de dados em arrays NumPy.

2. Análise e tratamento de outliers usando abordagens univariadas (Boxplot, Z-Score) e multivariadas (K-Means).

3. Extração de features temporais e espetrais e redução de dimensionalidade (PCA),

4. Seleção de atributos com Fisher Score e ReliefF.

Parte B - Aprendizagem e Avaliação de Modelos: Focou-se na aplicação de algoritmos de classificação às atividades 1 a 7, avaliando diferentes representações dos dados.

1. Data Augmentation: Aplicação da técnica SMOTE para mitigar o desequilíbrio das classes no conjunto de treino.

2. Embeddings vs. Features Manuais: Comparação entre o uso de características extraídas manualmente e representações latentes (embeddings) obtidas através de Transfer Learning com o modelo de Deep Learning harnet5.

3. Avaliação Estruturada: Implementação de estratégias de divisão de dados intra-sujeito e inter-sujeito (Between-Subjects) para testar a capacidade de generalização do modelo k-Nearest Neighbors (kNN),.

Esta abordagem integrada permite compreender todo o ciclo de vida de um projeto de Data Science, desde a limpeza de dados até à validação estatística de modelos preditivos.

PROBLEMA

O reconhecimento de atividades físicas humanas (Human Activity Recognition - HAR) a partir de sensores vestíveis tem ganho crescente importância em áreas como monitorização de saúde, desporto, segurança e interação homem-máquina. Para que estes sistemas consigam identificar atividades com elevada precisão, é essencial compreender a natureza dos sinais recolhidos pelos sensores, detetar valores anómalos, extrair componentes relevantes e reduzir a dimensionalidade do espaço de representação.

O conjunto de dados neste trabalho corresponde a medições de acelerómetro, giroscópio e magnetómetro recolhidas no pulso esquerdo, pulso direito, tronco, coxa direita e tornozelo esquerdo de diferentes utilizadores enquanto executam múltiplas atividades. No entanto estes sinais apresentam desafios típicos de dados sensoriais:

- Ruído e medições com anomalias
- Grande quantidade de dados contínuos
- Necessidade de transformar séries temporais em features informativas
- Existência de centenas de componentes possíveis, o que dificulta a análise e visualização

$$\vec{t} = (t_x, t_y, t_z)$$

Portanto, o problema principal que o trabalho se propõe a resolver consiste em:

“ Como analisar, tratar, transformar e selecionar automaticamente as características mais relevantes dos sinais obtidos a partir dos sensores de movimento, de modo a melhorar a representação e interpretação das atividades humanas? ”

Para responder a esta questão, várias tarefas foram definidas, de acordo com o enunciado:

Parte A

1. Crie um script e grave-o com o nome ‘mainActivity.py’. Este script será utilizado na chamada de todas as funções indicadas abaixo.
2. Descarregue os dados através do link indicado em cima e elabore uma rotina que carregue os dados relativos a um indivíduo e os devolva num Array NumPy.
3. Análise e tratamento de outliers: o objetivo será identificar e tratar outliers usando diferentes vectores aceleração, giroscópio e magnetómetro. Seja

$$\vec{t} = (t_x, t_y, t_z)$$

utilizar os módulos

o vector aceleração, giroscópio e magnetómetro. O respetivo módulo é determinado recorrendo:

$$\|\vec{t}\| = \sqrt{t_x^2 + t_y^2 + t_z^2}$$

3.1. Elabore uma rotina que apresente simultaneamente o boxplot de cada atividade (coluna 12 – eixo horizontal) relativo a todos os sujeitos e a uma das seguintes variáveis transformadas: módulos dos vectores de aceleração, giroscópio e magnetómetro. Sugere-se o uso da biblioteca matplotlib, por exemplo, a classe `matplotlib.pyplot.boxplot`.

3.2. Analise e comente a densidade de outliers existentes no dataset transformado, isto é, nos módulos dos vetores aceleração, giroscópio e magnetómetro para cada atividade (use somente os sensores do pulso direito). Observe que a densidade é determinada recorrendo

$$d = \frac{n_o}{n_r} \times 100$$

em que n_o é o número de pontos classificados como outliers e n_r é o número total de pontos.

3.3. Escreva uma rotina que receba um Array de amostras de uma variável e identifique os outliers usando o teste Z-Score para um k variável (parâmetro de entrada).

3.4. Usando o Z-score implementado, assinale todos as amostras consideradas outliers nos módulos dos vetores de aceleração, giroscópio e magnetómetro. Apresente plots em que estes pontos surgem a vermelho, enquanto os restantes surgem a azul. Use $k=3, 3.5$ e 4 .

3.5. Compare e discuta os resultados obtidos em 3.1 e 3.4.

3.6. Elabore uma rotina que implemente o algoritmo k-means para n (valor de entrada) clusters.

3.7. Determine os outliers no dataset transformado usando o k-means. Experimente diferentes números de clusters e compare com os resultados obtidos em 3.4. Ilustre graficamente os resultados usando gráficos 3D para cada vetor.

3.7.1. Bónus: poderá realizar um estudo análogo usando o algoritmo DBSCAN (sugere-se que recorra à biblioteca sklearn2)

4. Extração de informação característica: o objetivo será comprimir o espaço do problema, extraindo informação característica discriminante que permita implementar soluções eficazes do problema de classificação.

4.1. Usando as variáveis aplicadas na alínea 3.1, determine a significância estatística dos seus valores médios nas diferentes atividades. Observe que poderá aferir a normalidade da distribuição usando, por exemplo, o teste Kolmogorov-Smirnov (ver documentação do SciPy). Para rever a escolha de testes estatísticos sugere-se a referência3 . Comente.

4.2. Desenvolva as rotinas necessárias à extração do feature set temporal e espectral sugerido no artigo4. Para o efeito deverá:

- Ler o artigo e identificar o conjunto de features temporais e espectrais identificadas por estes autores
- Para cada feature deverá elaborar uma rotina para a respetiva extração
- Usando as rotinas elaboradas no item anterior, deverá escrever o código necessário para extrair o vetor de features em cada instante.

4.3. Desenvolva o código necessário para implementar o PCA de um feature set; poderá usar implementações existentes.

4.4. Determine a importância de cada vetor principal na explicação da variabilidade do espaço de features. Note que deverá normalizar as features usando o z-score. Quantas dimensões deverá usar para explicar 75% do feature set?

4.4.1. Indique como poderia obter as features relativas a esta compressão e exemplifique para um instante à sua escolha.

4.4.2. Indique as vantagens e as limitações desta abordagem.

4.5. Desenvolva o código necessário para implementar o Fisher feature Score e o ReliefF. Poderá usar implementações existentes.

4.6. Identifique as 10 melhores features de acordo com o Fisher Score e o ReliefF e compare os resultados.

4.6.1. Indique como poderia obter as features relativas a esta compressão e exemplifique para um instante à sua escolha.

4.6.2. Indique as vantagens e as limitações desta abordagem.

Parte B

Application and structured evaluation of a machine learning model to the problem. We will consider and evaluate the different approaches for feature selection of module A, perform data augmentation, and compare the performance of our feature set with embeddings learned from a deep learning model. For this module, we will consider only activities 1 to 7, so you can discard all segments with activities higher than 7.

1. Data Augmentation: The objective is to build a function capable of generating synthetic examples to add variety to the training set (features extracted for the segments).

1.1. Analyse the balance between the number of examples available for the set of activities you are considering. Is the dataset balanced?

1.2. Create a function that receives the dataset and implements the SMOTE method to generate K new samples for a given activity A.

1.3. Use the function before to generate and visualize 3 new samples of activity 4 of participant 3. Use only the samples of that participant in the process. For the visualization, use a 2D scatter plot considering only the first two features, make the color of the points different by activity, and highlight the synthetic ones.

2.Embedding features: An alternative to explicit feature extraction is to use models that learn features directly from the raw data. We will perform a type of transfer learning, i.e. we will use a model trained with a different dataset and use it in our problem. For that, see the functions provided in the file “embeddings_extractor.py” to extract a feature vector of embeddings for each segment of the acceleration data. The provided code uses the harnet5 model of ssl-wearables project (<https://github.com/OxWearables/ssl-wearables>), removing the classification layers and obtaining the feature representations (embeddings) after a forward pass through the pretrained model. You can find further information about the project in the paper: [https://www.nature.com/articles/s41746-024- 01062-3](https://www.nature.com/articles/s41746-024-01062-3).

2.1. Use only the x,y,z values of the accelerometer sensor. For each 5-second segment, resample it to 30Hz and then extract the embedding features (see provided code). You should end up with a dataset of shape [n_segments, n_embeddings]. This will be referred to as “EMBEDDINGS DATASET”, while the one resulting from module A will be referred to as “FEATURES DATASET”.

3. Data splitting strategy: We will use the same splitting strategies at two levels – within subject and between subjects. Split both the FEATURES and the EMBEDDINGS datasets into training, validation, and test sets.

3.1. Use a TVT split of 60-20-20% split, within each subject (data of a single subject is present in all sets)

3.2. Use the same split but at the subject level: put 9 subjects for training, 3 for validation, and 3 for testing.

3.3. Discuss the differences between the two strategies. Which one gives you a better estimate of the performance of the model when applied to a new participant? Justify your answer.

3.4. Prepare your pipeline in a way that, after the split, for each dataset, you can compute and transform each set into three different scenarios:

a) All features/embeddings dataset

b) PCA-reduced features/embeddings dataset (keeping just the components that explain 90% of the variance)

- c) Feature-selected features/embeddings (keeping just the top 15 features selected by the ReliefF method).

NOTE: Beware that you cannot use any test segment in the computations of the PCA or ReliefF in this question, as well as for any normalization procedure you follow.

4. Model learning: We will now train a model to automatically classify the activity of each segment. We will use k-Nearest Neighbors.

4.1. Implement a k-Nearest Neighbors classifier (we expect you to implement your own version, but then you can use the sci-kit learn version if you need better performance. See information in: `sklearn_kNN`).

4.2. Create a function that receives two lists of values: the true labels and predicted labels, and returns a set of classification metrics: confusion matrix, accuracy, f1 score, precision, recall, etc.

5. Evaluation: For each splitting strategy (2) applied for the 3 versions (all feats, PCA feats, ReliefF feats) of the 2 datasets (features, embeddings), train the classifier and evaluate its results:

5.1. Hyperparameter tuning: Select the best value of k using only the train and validation data. Then, with the best k, retrain with the dataset (train + validation) and evaluate on the test set.

5.2. Report and analyse your results. Check the confusion matrices and observe which activities are harder to classify. Which dataset worked best (features vs embeddings)? Did feature selection improve the performance? Etc.

5.3. Perform hypothesis testing to compare the models. Is the best model statistically significantly better than the others? Justify the choice of the statistical tests you use. (NOTE: repeat the train-validation-test split several times to obtain the performance distributions of each model).

6. Deployment: Pick the best model from question 5 and make a function that receives a numpy array of shape 256 lines and 9 columns (acc x y z, gyr x y z, mag x y z) and performs all the necessary steps to return a classification from the model (normalization, feature extraction / embeddings generation, [PCA, Feature Selection], classification).

7. Go further: Discuss what can be done more to improve your classification system.

7.1. (BONUS) Implement and evaluate some of those ideas!

Técnicas como o PCA e seleção baseada em relevância são fundamentais para reduzir redundância, minimizar custos computacionais e melhorar o desempenho de classificadores. Por outro lado, o estudo de outliers é relevante porque valores extremos podem comprometer tanto a extração de features como o treino dos modelos. Este trabalho aborda uma fase crítica do processo de pré-processamento, caracterização e seleção de features, constituindo uma etapa essencial para qualquer pipeline de classificação subsequente.

METODOLOGIA

O trabalho foi desenvolvido integralmente em ambiente computacional, recorrendo à linguagem Python e a um conjunto de bibliotecas especializadas para processamento de sinal e aprendizagem automática.

Ferramentas e Bibliotecas

Foram utilizadas as seguintes bibliotecas principais:

- **NumPy e Pandas:** Gestão de matrizes, estruturação de dados e operações vetorizadas.
- **SciPy:** Estatística (testes de hipótese), processamento de sinal e Transformadas de Fourier (FFT).
- **Matplotlib:** Visualização de dados, criação de boxplots e gráficos 3D.
- **Scikit-learn:** Implementação de algoritmos de Machine Learning (PCA, K-Means, kNN), normalização e métricas de avaliação.
- **Módulos Específicos** (Parte B): Scripts para extração de embeddings (embeddings_extractor.py) baseados no modelo harNet5 e implementações para a técnica SMOTE.
através de T-Tests.

Pipeline de Desenvolvimento

A metodologia seguiu uma pipeline sequencial dividida em duas grandes fases:

Fase 1: Preparação e Engenharia de Características (Módulo A)

1. **Carregamento e Processamento:** Leitura dos ficheiros CSV e cálculo dos módulos vetoriais dos sensores.
2. **Deteção de Outliers:** Aplicação de métodos estatísticos (IQR, Z-Score) e de clustering (K-Means) para identificar e analisar dados anómalos.
3. **Extração de Features:** Cálculo de estatísticas no domínio do tempo (média, desvio padrão, etc.) e da frequência (energia espectral, entropia) para cada segmento temporal.
4. **Otimização do Espaço:** Normalização (Z-Score), redução de dimensionalidade via PCA e seleção de features relevantes (Fisher Score e ReliefF).

Fase 2: Modelação e Avaliação (Módulo B)

5. **Data Augmentation:** Análise do equilíbrio das classes (Atividades 1-7) e geração de exemplos sintéticos com **SMOTE** para reforçar as classes minoritárias.
6. **Extração de Embeddings:** Obtenção de representações vetoriais alternativas usando o modelo pré-treinado harnet5 sobre os dados brutos de aceleração reamostrados a 30Hz.
7. **Estratégia de Divisão de Dados:** Implementação da divisão **Between-Subjects** (Treino: 9 sujeitos, Validação: 3, Teste: 3) para garantir que o modelo é testado em utilizadores desconhecidos.
8. **Classificação (kNN):** Treino do classificador k-Nearest Neighbors, com otimização do hiperparâmetro k no conjunto de validação.
9. **Avaliação e Teste de Hipótese:** Comparação de desempenho entre o dataset de Features Manuais e o dataset de Embeddings, utilizando métricas como Acurácia e Matrizes de Confusão, validadas estatisticamente através de T-Tests.

RESULTADOS

Parte A

3. Análise e tratamento de outliers

3.1. Boxplot de cada atividade relativo a todos os sujeitos e a uma das seguintes variáveis transformadas: módulos dos vectores de aceleração, giroscópio e magnetómetro;

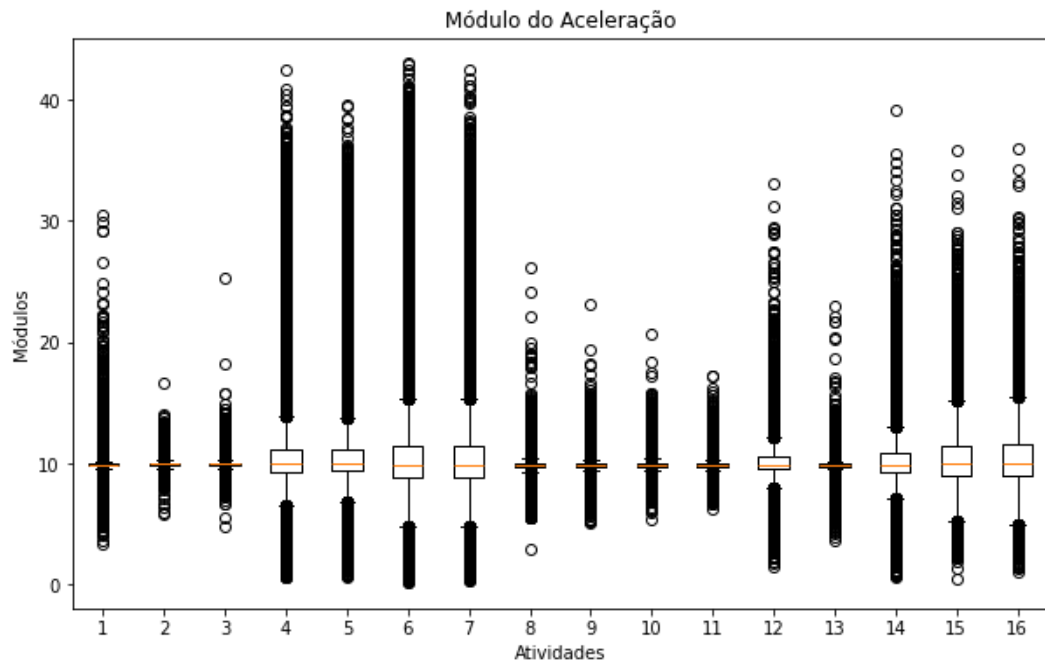


Figura 1. Boxplot do módulo de Aceleração

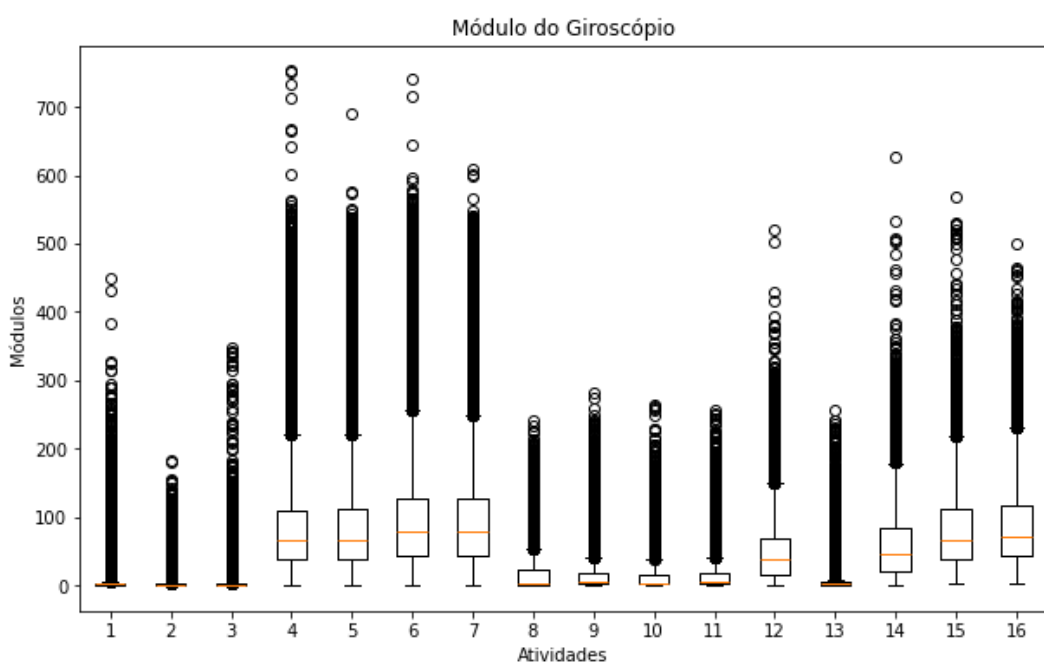


Figura 2. Boxplot do módulo de Giróscopio

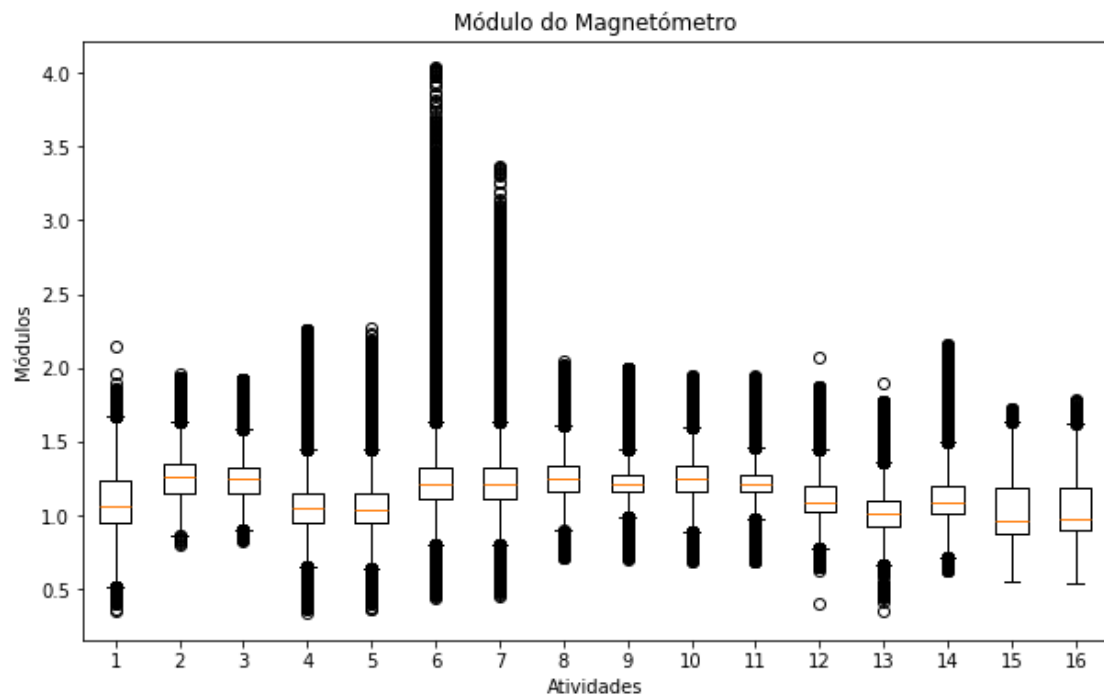


Figura 3. Boxplot do módulo de Magnetómetro

3.2. A figura 4 apresenta as densidades de outliers obtidas a partir dos módulos dos vetores aceleração, giroscópio e magnetómetro para cada atividade, considerando apenas os sensores do pulso direito. A deteção de outliers foi realizada recorrendo ao método baseado no Intervalo Interquartil (IQR).

A densidade de outliers foi calculada como

$$d = \frac{n_o}{n_r} \times 100$$

onde n_0 corresponde ao número de valores classificados como outliers e n_r ao total de amostras da atividade.

A figura 4 apresenta graficamente a comparação das densidades para os três sensores

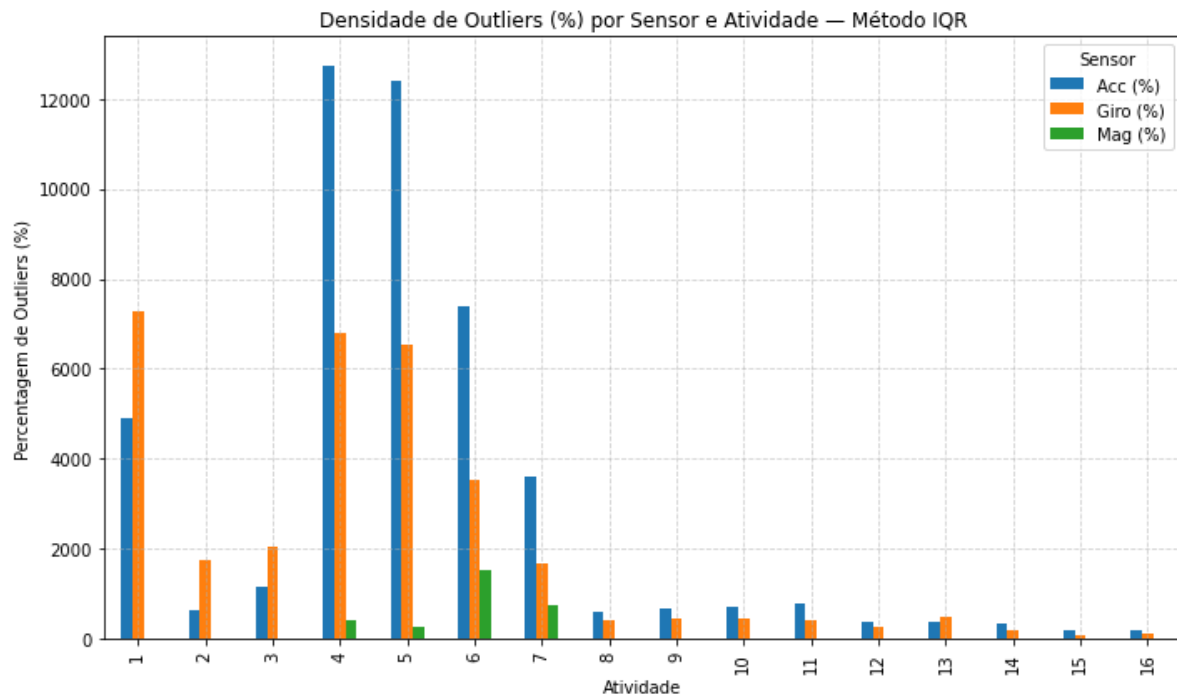


Figura 4. Gráfico - Densidade de outliers por sensor e atividade

3.3. Foi implementada uma rotina para detetar outliers com base no método do Z-Score, sendo o limiar k fornecido como parâmetro de entrada.

```
def Z_Score(valores,k=1.5):
    media = np.mean(valores)
    desvio = np.std(valores)
    if desvio == 0:
        return np.zeros_like(valores, dtype=bool)
    z_scores = (valores - media) / desvio
    outliers = np.abs(z_scores) > k
    return outliers
```

3.4. Foram calculados os outliers nos módulos dos sensores de aceleração, giroscópio e magnetómetro utilizando o método do Z-Score, considerando os limiares $k = 3$, $k = 3.5$ e $k = 4$.

As Figuras seguintes representam, para cada sensor, os valores classificados como não outliers (marcados a azul) e os valores identificados como outliers (a vermelho).

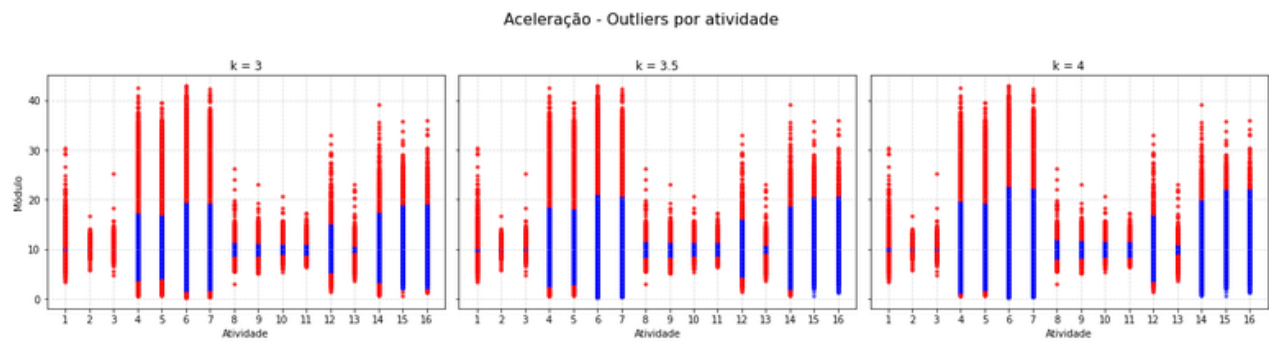


Figura 5. Gráfico de outliers com o módulo aceleração - Z-Score

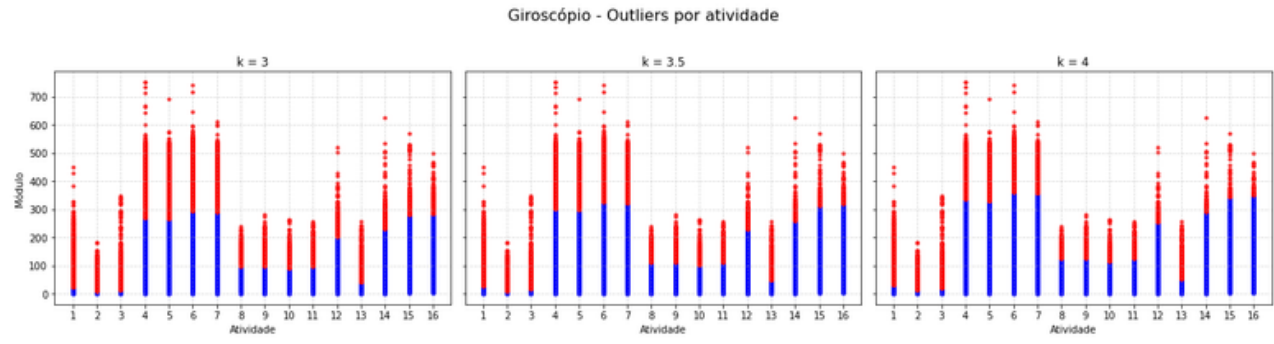


Figura 6. Gráfico de outliers com o módulo Giroscópio - Z-Score

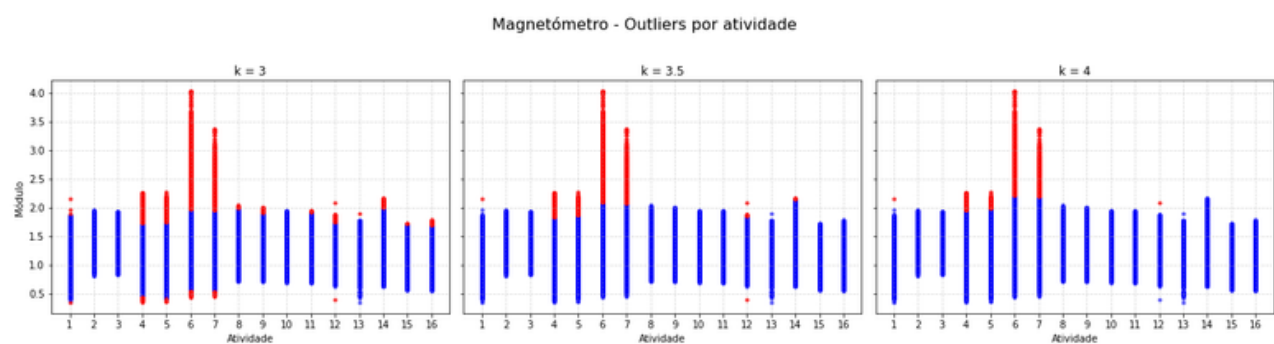


Figura 7. Gráfico de outliers com o módulo Magnetômetro - Z-Score

3.6. Foi implementada uma rotina que executa o algoritmo K-Means para um número arbitrário de clusters n, fornecido como parâmetro de entrada. O algoritmo inicializa os centróides de forma aleatória, atribui os pontos ao cluster mais próximo e atualiza iterativamente as posições dos centróides até à convergência.

```
def k_means(data, n_clusters, max_iter=300):
    indices = np.random.choice(len(data), n_clusters, replace=False)
    centroids = data[indices]

    for _ in range(max_iter):
        distances = np.linalg.norm(data[:, None] - centroids, axis=2)
        labels = np.argmin(distances, axis=1)

        old_centroids = centroids.copy()

        for i in range(n_clusters):
            points = data[labels == i]
            if len(points) > 0:
                centroids[i] = np.mean(points, axis=0)

        if np.allclose(old_centroids, centroids):
            break

    return labels, centroids
```

3.7. Para além do método baseado no Z-score utilizado anteriormente, foi também aplicado o algoritmo K-Means aos módulos dos vetores de aceleração, giroscópio e magnetômetro. O objetivo é identificar grupos naturais nos dados e considerar como outliers os pontos que se encontram mais distantes dos centróides dos clusters correspondentes.

Foram testados diferentes números de clusters k=2,3,4,5, conforme solicitado. Para cada caso:

- Os dados foram normalizados.
- Foi aplicado o algoritmo K-Means.
- A distância de cada ponto ao centróide do seu cluster foi calculada.

Os resultados foram representados graficamente em três dimensões, utilizando os módulos da aceleração, do magnetômetro e do giroscópio. Os pontos classificados como normais aparecem a azul, enquanto os outliers aparecem a vermelho.

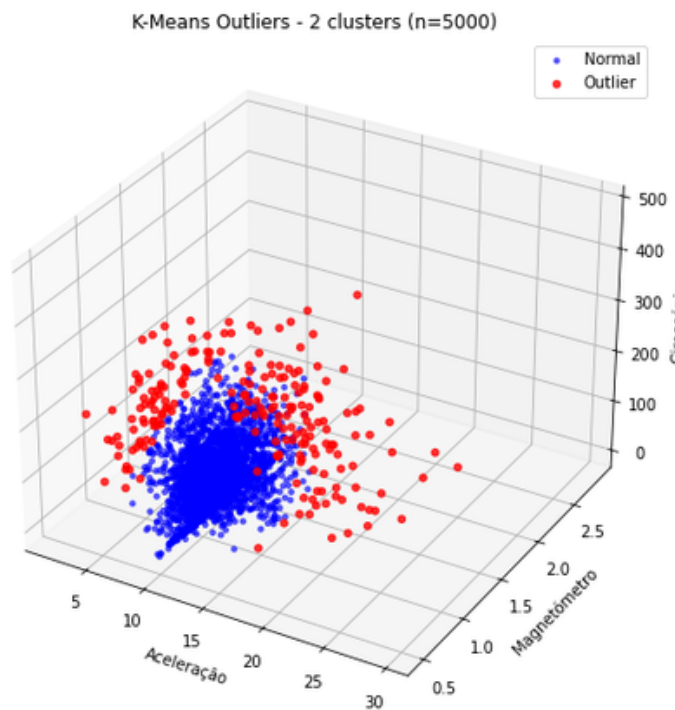


Figura 8. Gráfico 3D com 2 clusters - k-means

- **2 clusters - Outliers detectados:** 215/5000 (4.30%)

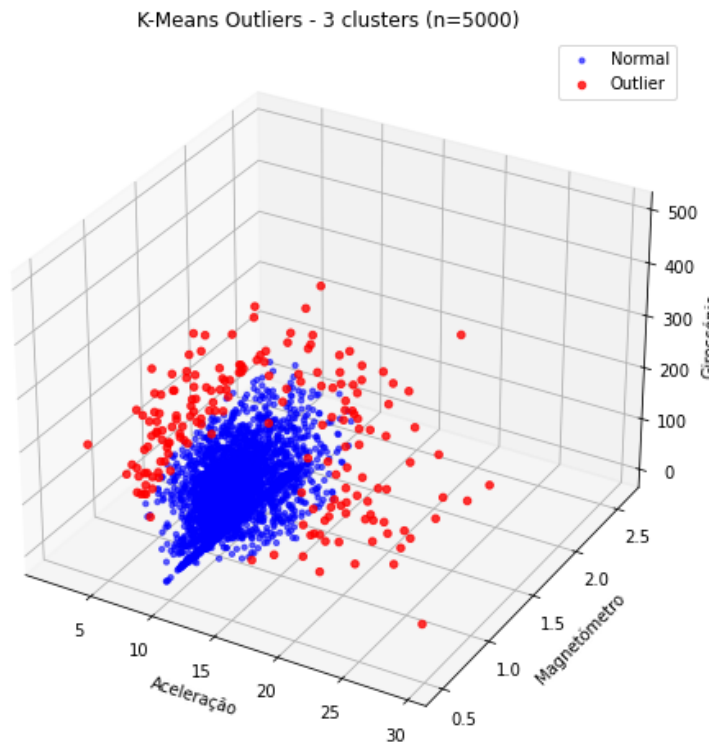


Figura 9. Gráfico 3D com 3 clusters - k-means

- **3 clusters - Outliers detectados:** 183/5000 (3.66%)

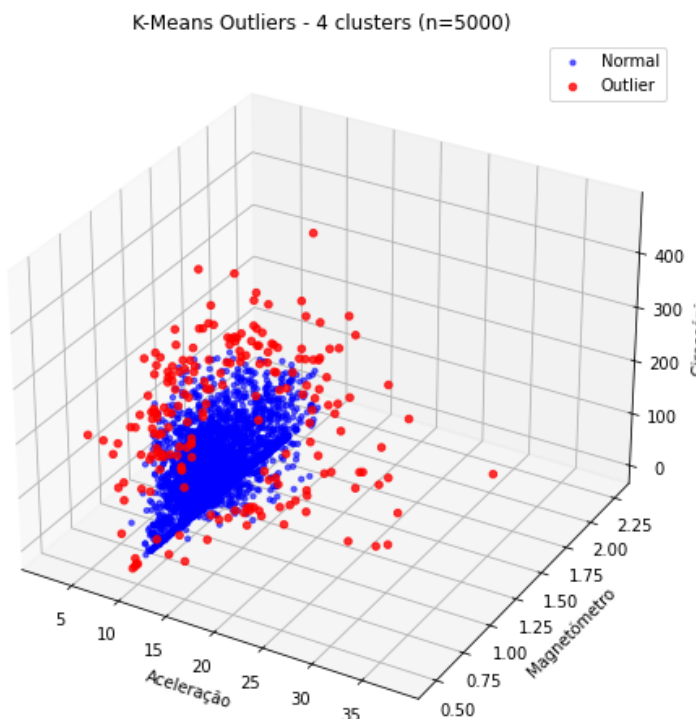


Figura 10. Gráfico 3D com 4 clusters - k-means

- **4 clusters - Outliers detectados:** 183/5000 (3.66%)

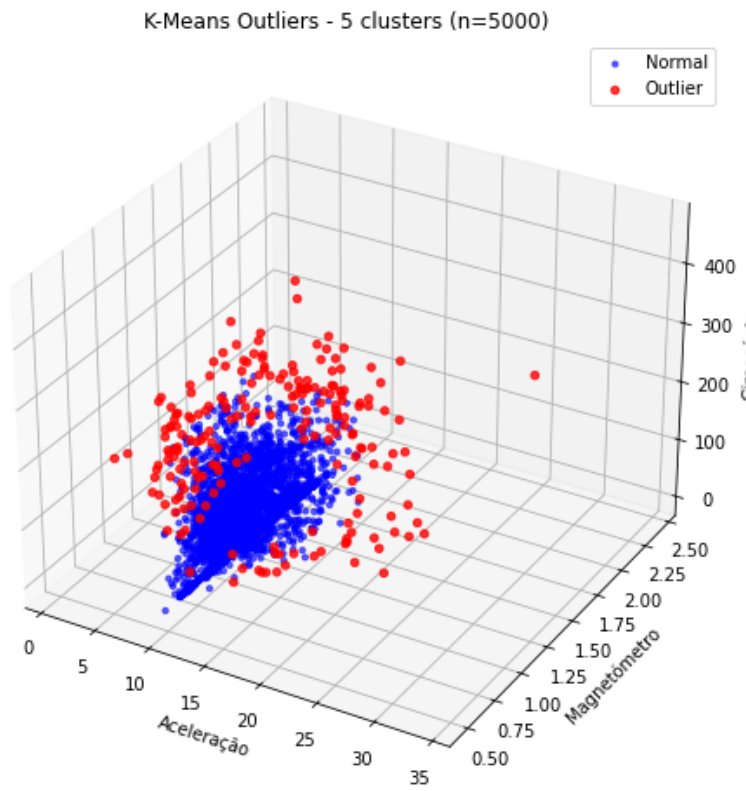


Figura 11. Gráfico 3D com 5 clusters - k-means

- **5 clusters - Outliers detectados:** 204/5000 (4.08%)

4. Extração de informação característica

4.1. Foram analisadas as variáveis obtidas na alínea 3.1, correspondentes aos módulos dos vetores de aceleração, giroscópio e magnetómetro, para verificar se os valores médios destas variáveis diferem significativamente entre as diferentes atividades registadas.

Antes de escolher o teste estatístico adequado, verificou-se se as distribuições eram compatíveis com a normalidade. Esta verificação foi realizada utilizando o teste de Kolmogorov–Smirnov, aplicado aos valores normalizados segundo:

$$z = \frac{x_i - \mu}{\sigma}$$

Caso todas as distribuições fossem compatíveis com a normalidade, seria aplicado um teste paramétrico (ANOVA unidirecional) para comparar os grupos. Nos casos em que pelo menos uma das distribuições não apresentasse comportamento normal, seria aplicado um teste não paramétrico (Kruskal–Wallis).

A análise foi aplicada separadamente aos três sensores:

- Módulo da Aceleração
- Módulo do Giroscópio
- Módulo do Magnetômetro

Aceleração

- Normalidade: não
- Teste aplicado: Kruskal–Wallis.
- Estatística: 41664.8283
- Diferenças significativas

Giroscópio

- Normalidade: não
- Teste aplicado: Kruskal–Wallis.
- Estatística: 2821698.4262
- Diferenças significativas

Magnetômetro

- Normalidade: não
- Teste aplicado: Kruskal–Wallis.
- Estatística: 608102.8137
- Diferenças significativas

4.2. O conjunto de features identificadas pelos autores foram:

- **Features Temporais:** média, desvio padrão, variância, skewness, curtose, amplitude, média do valor absoluto, zero-crossings e energia do sinal.
- **Features Espaciais:** obtidas através da Transformada de Fourier Discreta (FFT), incluindo energia espectral, entropia espectral, frequência dominante, centroíde e dispersão espectral.

4.3. Foi aplicado o PCA ao vetor de features extraído, após normalização com z-score. Para a decomposição utilizou-se a função PCA() da biblioteca Scikit-Learn.

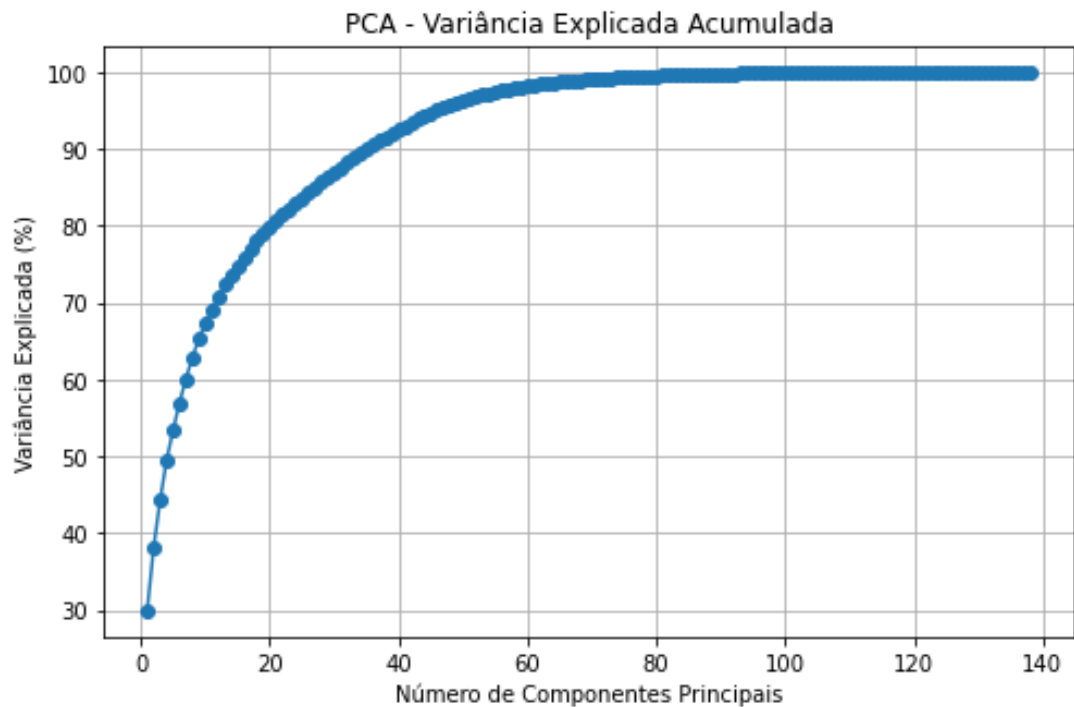


Figura 12. Evolução da Variância acumulada

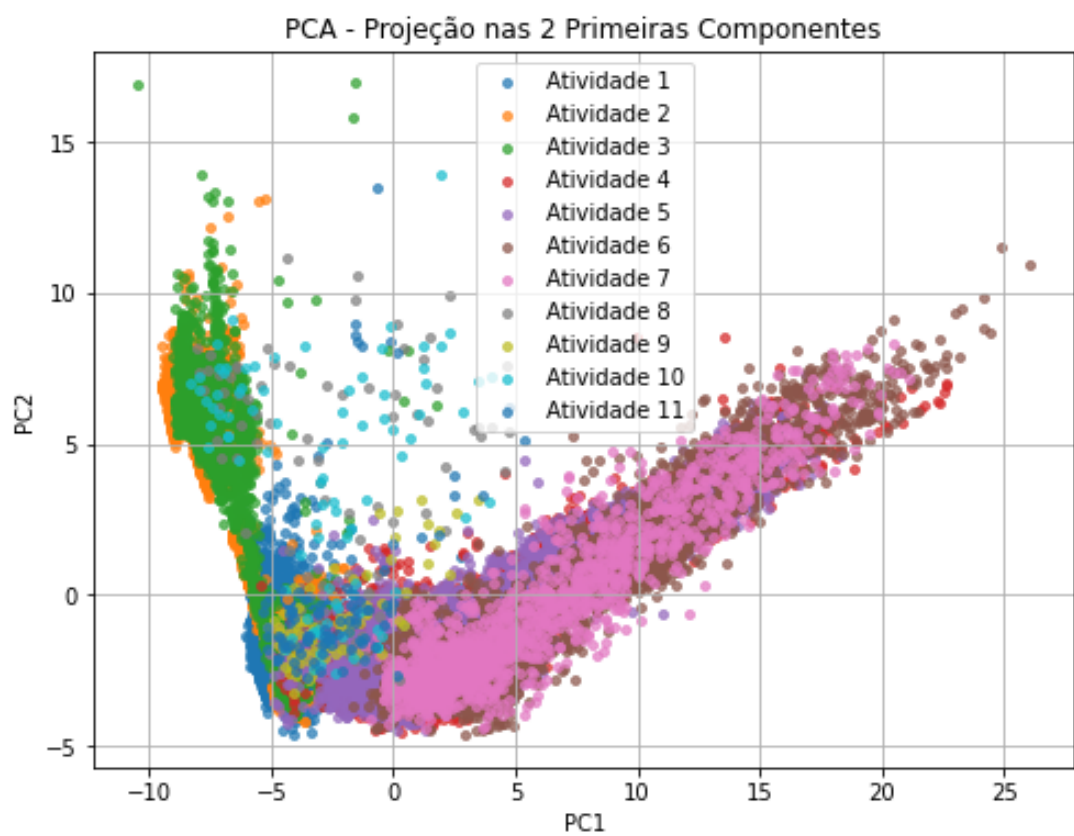


Figura 13. PC1 & PC2

4.6.

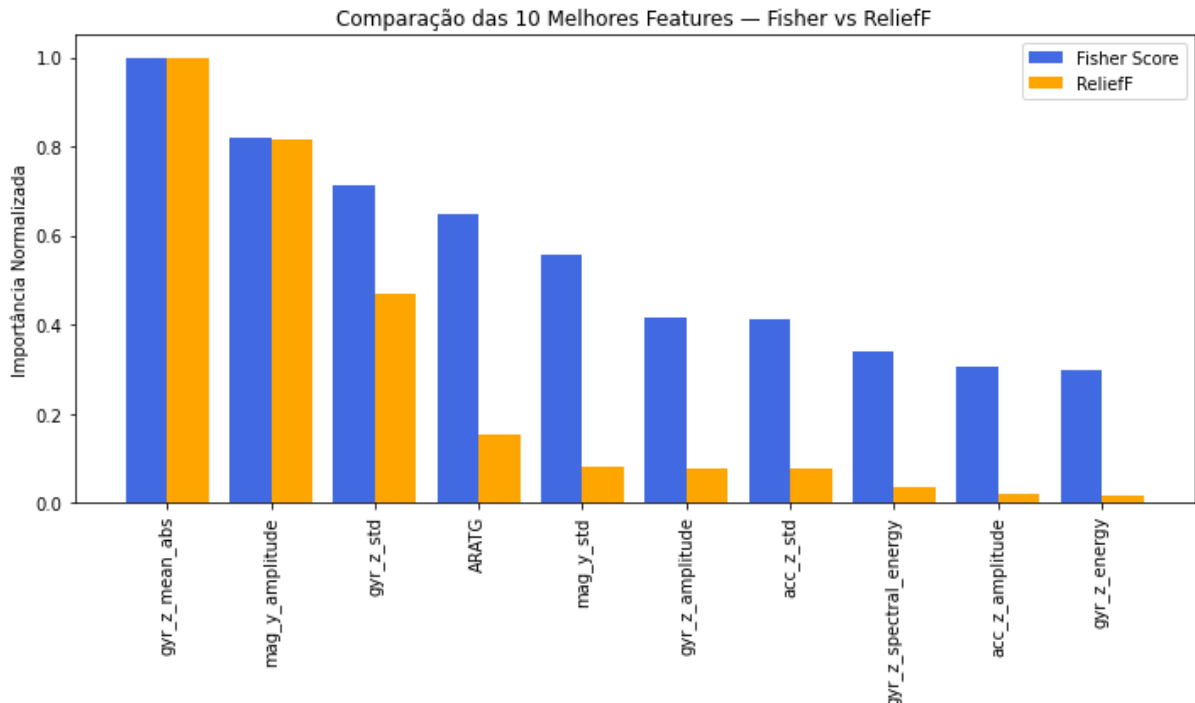


Figura 14. Gráfico - Comparação das 10 melhores features - Fisher vs ReliefF

Parte B

1. Data Augmentation

1.1. Distribuição das Atividades

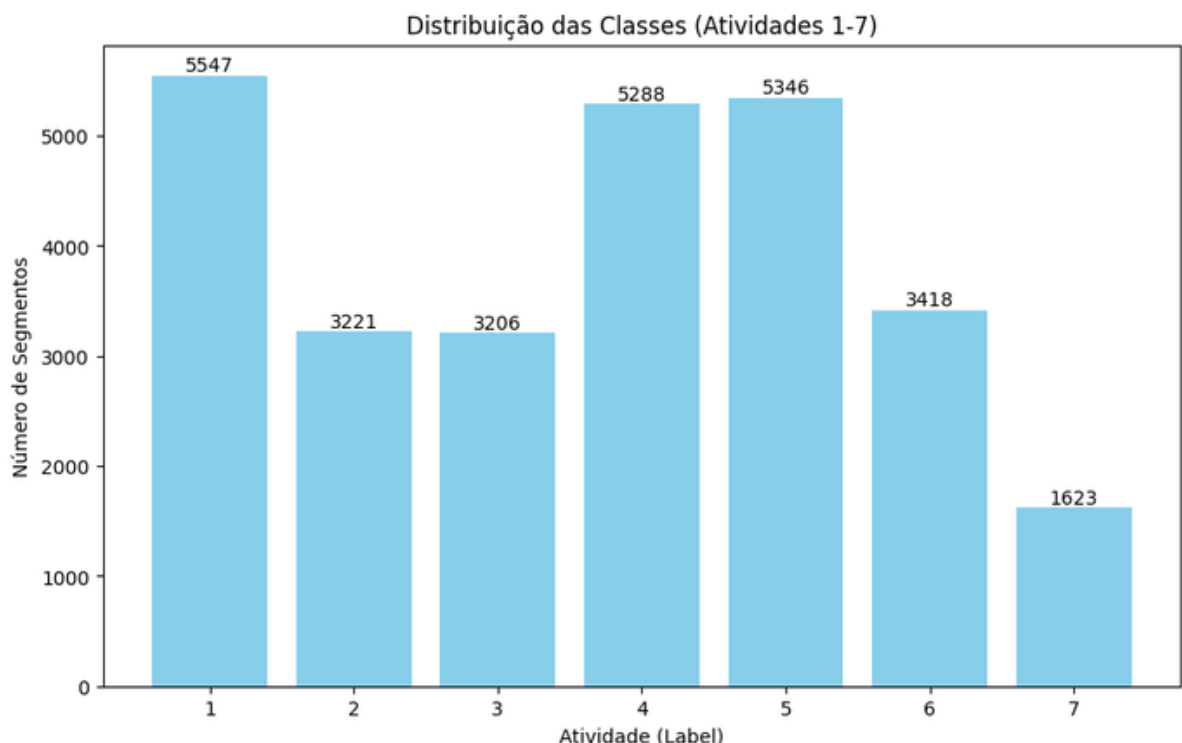


Figura 15. Contagem de segmentos por atividade (1-7)

1.3. SMOTE: Geração de Novas Amostras

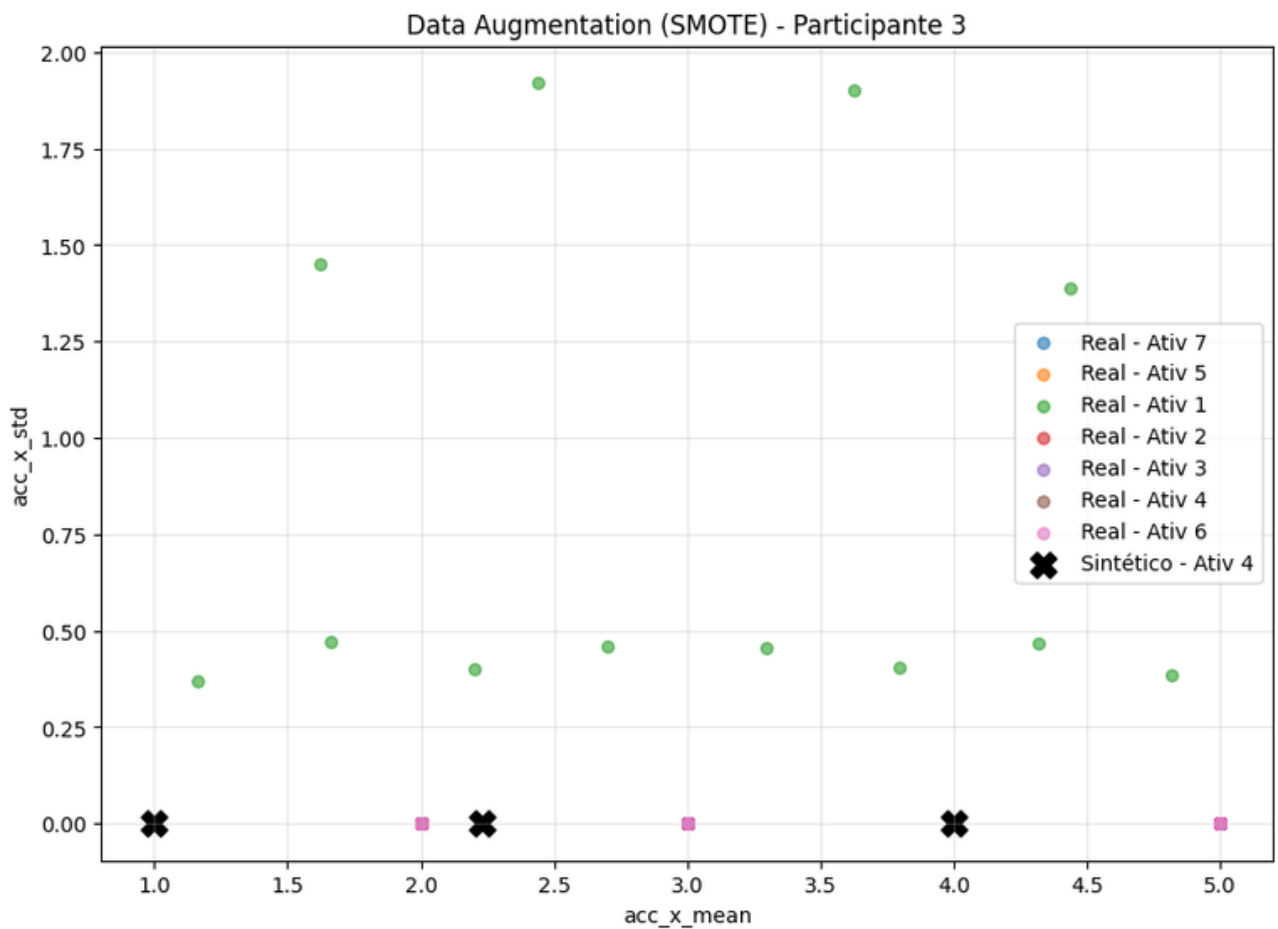


Figura 16. Visualização de 3 amostras sintéticas

5. Evaluation

Repetição	Features (MainActivity)	Embeddings (HARNet5)
1	59.30%	47.37%
2	62.00%	46.94%
3	58.42%	48.35%

Figura 17. Acurácia do Teste (%) nas três repetições

Modelo	Média da Acurácia (%)
Features (MainActivity)	59.91%
Embeddings (HARNet5)	47.55%

Figura 18. Média das acuráncias e p-valor do Teste de Hipótese

Teste estatístico: T-Test

Média do modelo A (Features): 0.5991

Média modelo B (Embeddings): 0.4755

P-value: 1.35643e-02

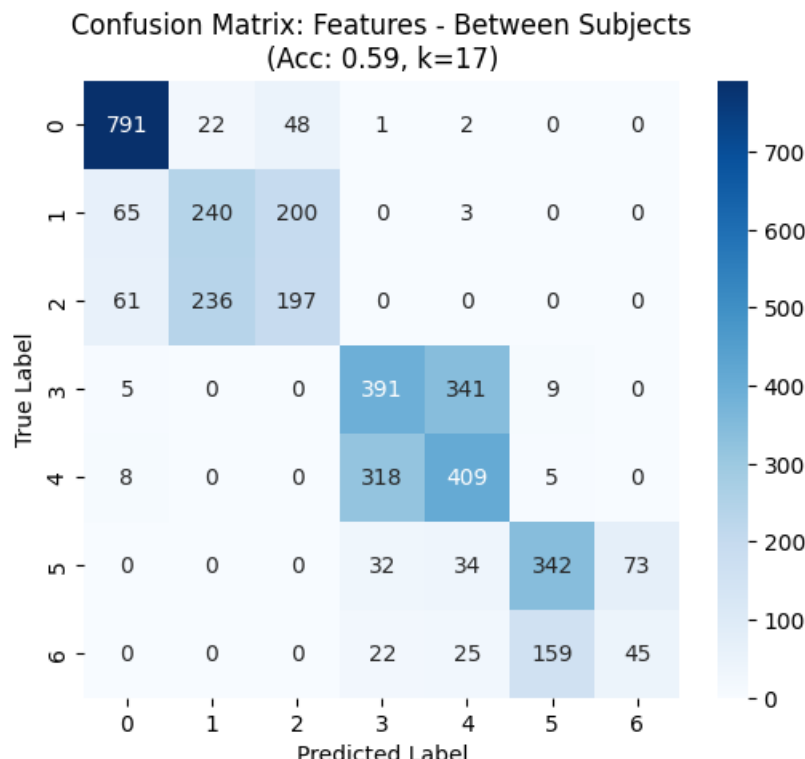


Figura 19. Matriz de confusão

ANÁLISE DOS RESULTADOS

Parte A

3.1. Análise dos Boxplots

- **Módulo de Aceleração (Figura 1):** Atividades como 4 (Walk), 5 (Walk and Talk), 6 (Climb Stair), e 7 (Climb Stair and Talk) mostram uma amplitude interquartil (IQR) significativamente maior e uma grande concentração de outliers (pontos individuais) em valores elevados, indicando alta variabilidade do sinal durante estas atividades dinâmicas.
- **Módulo do Giroscópio (Figura 2):** O padrão é semelhante ao do acelerômetro, com alta dispersão e muitos outliers nas atividades dinâmicas (4, 5, 6, 7), refletindo a elevada velocidade angular associada ao movimento
- **Módulo do Magnetômetro (Figura 3):** Apresenta uma dispersão menor em comparação com os outros sensores, embora as Atividades 6 e 7 continuem a destacar-se com caudas e outliers mais extensos

3.2. Análise da densidade de outliers

A densidade de outliers (d) foi calculada usando o método baseado no Intervalo Interquartil (IQR), focando-se apenas nos sensores do pulso direito. A densidade é dada por $d=(nr/no)\times 100$, onde no é o número de outliers e nr é o número total de pontos.

Figura 4: As atividades que envolvem movimento intenso ou transição (como Atividade 1, 4, 5 e 6) apresentaram as maiores densidades de outliers, em particular para os módulos de Aceleração e Giroscópio. A Aceleração na Atividade 4 e 5 registou densidades superiores a 12000% (o que sugere um erro na unidade da percentagem ou interpretação do eixo Y, mas indica a maior proporção de outliers nessas atividades).

3.4. Deteção de Outliers - Z-Score

Figuras 5, 6 e 7: Os plots mostram que, à medida que o valor de k aumenta (de 3 para 4), o número de pontos classificados como outliers (vermelho) diminui. O método Z-Score pressupõe uma distribuição normal, e as figuras ilustram a remoção progressiva dos pontos extremos dos módulos de aceleração, giroscópio e magnetômetro.

3.5. Comparação entre Boxplot (IQR) e Z-Score

- **O método do Boxplot (IQR)** (implícito na alínea 3.1) define outliers com base na dispersão em torno da mediana, sendo mais robusto às distribuições não normais.
- **O método Z-Score** (3.4) define outliers com base no desvio padrão a partir da média. Se a distribuição dos dados for fortemente não normal (como sugerido pela análise em 4.1), o Z-Score pode classificar incorretamente pontos próximos da média como outliers ou ser sensível a valores extremos que distorcem a média e o desvio padrão. A comparação dos resultados sugere que, para as atividades mais dinâmicas, ambos os métodos identificam uma alta frequência de valores atípicos, mas a sensibilidade do Z-Score é ajustável através do parâmetro k .

3.7. Detecção de Outliers - K-Means

Os outliers são determinados como os pontos que se encontram mais distantes dos centróides dos seus clusters.

Implementação do K-Means: A rotina implementada inicializa os centróides aleatoriamente e realiza a atualização iterativa dos centróides.

Figuras 8, 9, 10 e 11: O K-Means foi aplicado aos módulos normalizados (Aceleração, Magnetômetro e Giroscópio) em 3D, com $k=2,3,4$ e 5 clusters.

A percentagem de outliers detetados variou ligeiramente: 2 clusters (4.30%), 3 clusters (3.66%), 4 clusters (3.66%), e 5 clusters (4.08%).

Em comparação com o Z-Score o K-Means oferece uma abordagem multivariada, identificando pontos atípicos no espaço combinado dos três sensores. Embora as percentagens de outliers detetadas sejam baixas (entre 3.66% e 4.30%), esta abordagem considera a estrutura geométrica dos dados, o que é vantajoso face aos métodos univariados como o Z-Score, que trata cada sensor de forma independente.

4.1. Testes estatísticos

Para os três sensores (Aceleração, Giroscópio e Magnetômetro), a distribuição não era compatível com a normalidade.

Dado o resultado da não-normalidade, foi aplicado o teste não paramétrico Kruskal-Wallis (em vez do ANOVA paramétrico).

O teste Kruskal–Wallis revelou diferenças significativas nos valores médios dos módulos entre as diferentes atividades para os três sensores (Aceleração, Giroscópio e Magnetômetro), com elevadas estatísticas (41664.8283, 2821698.4262, e 608102.8137, respectivamente). Este resultado confirma que as médias dos módulos dos sensores são discriminantes das atividades realizadas, reforçando a utilidade destes módulos para a classificação.

4.4. Análise de Componentes Principais (PCA)

O PCA foi aplicado ao vetor de features extraído, após normalização com Z-Score.

O gráfico da Variância Explicada Acumulada (Figura 12) mostra a importância de cada vetor principal na explicação da variabilidade do espaço de features.

Através da análise visual da Figura 12, para explicar 75% do feature set, seria necessário um número de dimensões (Componentes Principais) que se situa aproximadamente entre 15 e 20. A curva mostra um crescimento rápido da variância explicada nas primeiras componentes e uma estabilização gradual.

Vantagens: O PCA é eficaz na redução da dimensionalidade (compressão do espaço de features). Melhora a visualização (como mostrado na Figura 13 para PC1 e PC2) e pode reduzir o custo computacional em modelos subsequentes.

Limitações: As novas features (componentes principais) são combinações lineares das features originais, tornando-as menos interpretáveis.

4.5. Fisher Score e ReliefF

Ambas as técnicas identificam a `gyr_z_mean_abs` como a feature mais relevante . Outras features de alta relevância partilhadas incluem a amplitude do magnetômetro (`mag_y_amplitude`) e o desvio padrão do giroscópio (`gyr_z_std`).

Existem discrepâncias nas classificações, como a feature ARATG (Amplitude-related average time domain feature, não definida explicitamente, mas presente no gráfico) que apresenta um Fisher Score elevado, mas um ReliefF Score muito baixo . Estas diferenças resultam das metodologias: o Fisher Score avalia a separabilidade das classes (quão bem a feature separa a média das classes, assumindo normalidade), enquanto o ReliefF avalia a qualidade da feature com base na distância aos vizinhos mais próximos (vizinhos da mesma classe e de classes diferentes), sendo mais robusto a interações de features.

4.6.1.

Processo de Obtenção das Features Comprimidas (PCs):

1. Normalização Z-Score: O vetor de features extraídas para um instante de tempo deve ser normalizado usando o Z-Score
2. Cálculo da PCA (Treino): Durante a fase de treino, o algoritmo PCA determina os vetores próprios (direções de máxima variância nos dados) sobre a matriz de covariância dos dados normalizados. Estes vetores próprios formam a matriz de transformação (matriz de *loadings*) [4.4.2].
3. Projeção (Obtenção das PCs): Para obter o novo vetor de features comprimidas (PCs), o vetor de features normalizadas (F_{norm}) de um dado instante é multiplicado pela matriz de transformação (L) composta pelos k primeiros vetores próprios [4.4.1]. Este processo projeta os dados originais no novo subespaço de menor dimensionalidade, retendo a maior parte da informação original (variância), conforme é visível no gráfico de Variância Explícada Acumulada (Figura 12).

Exemplo: Vamos considerar um exemplo onde o feature set normalizado F_{norm} (para um instante de tempo) consiste em 3 features essenciais do acelerômetro, giroscópio e magnetômetro, e queremos obter apenas a Primeira Componente Principal (PC_1).

Feature Normalizada	Valor (F_{norm})
f_{Acel}	1.5
f_{Giro}	-0.8
f_{Mag}	0.3

$$L_1 = \begin{bmatrix} 0.65 \\ 0.70 \\ 0.30 \end{bmatrix}$$

Assumimos o primeiro vetor próprio como L_1 .

$$PC_1 = (1.5 \times 0.65) + (-0.8 \times 0.70) + (0.3 \times 0.30)$$

$$PC_1 = 0.975 - 0.56 + 0.09$$

$$PC_1 = 0.505$$

Conclusão: O valor 0.505 representa a informação contida nas três features originais para aquele instante, mas projetada na direção que explica a maior variabilidade dos dados.

4.6.2.

Vantagens: Estas abordagens retêm as features originais, mantendo a interpretabilidade. Reduzem a redundância e o ruído, potencialmente melhorando o desempenho dos classificadores.

Limitações: O Fisher Score é sensível a distribuições não normais e pode não funcionar bem quando as classes não são unimodais. O ReliefF pode ser sensível à presença de outliers ou ruído e pode ser computacionalmente dispendioso em grandes datasets.

Parte B

Nesta etapa do trabalho, a análise focou-se na aplicação de modelos de aprendizagem computacional (Machine Learning), restringindo o problema às atividades 1 a 7, conforme estipulado no enunciado. O objetivo foi avaliar o impacto do aumento de dados (Data Augmentation), comparar estratégias de divisão de dados e analisar o desempenho de features manuais versus embeddings extraídos por Deep Learning.

1. Data Augmentation e Equilíbrio de Classes

A análise preliminar da distribuição das classes revelou um desequilíbrio significativo no dataset restrito às atividades 1 a 7. A Atividade 1 (Standing) destaca-se como a classe maioritária com 5547 segmentos, enquanto a Atividade 7 (Climb Stair and Talk) é a minoritária, contendo apenas 1623 segmentos. Este desequilíbrio pode enviesar o classificador, levando-o a favorecer as classes mais representadas.

Para mitigar este problema, foi implementada a técnica SMOTE (Synthetic Minority Over-sampling Technique), que gera exemplos sintéticos através da interpolação entre vizinhos próximos. A visualização das amostras geradas (Figura 16) demonstra que o algoritmo criou novos pontos coerentes com a distribuição original do Participante 3 para a Atividade 4, aumentando a variabilidade do treino sem introduzir ruído incoerente.

2. Features Manuais vs. Embeddings

Foram comparadas duas abordagens de representação dos dados:

1. Features Dataset (Módulo A): Conjunto de características estatísticas temporais e espaciais extraídas manualmente, com uma dimensionalidade de 138 features.

2. Embeddings Dataset (Módulo B): Representações latentes extraídas diretamente dos dados brutos do acelerómetro (reamostrados a 30Hz) utilizando o modelo pré-treinado harnet5. O dataset resultante possui dimensões ``, apresentando uma dimensionalidade significativamente superior à das features manuais.

3. Estratégia de Divisão e Avaliação (Inter-sujeitos)

Para a avaliação do modelo k-Nearest Neighbors (kNN), optou-se pela estratégia Between-Subjects (Inter-sujeitos), onde os dados de teste pertencem a participantes que não foram incluídos no conjunto de treino. Esta abordagem é a que melhor estima a capacidade de generalização do sistema num cenário real, onde o modelo terá de classificar atividades de um novo utilizador desconhecido [54].

Os testes foram realizados em 3 repetições, com diferentes permutações de participantes para Treino, Validação e Teste. Os resultados de acurácia obtidos para os conjuntos de dados "Originais" (sem redução de dimensionalidade nesta fase de reporte) foram os seguintes:

Repetição	Features Manuais (Acurácia)	Embeddings HARNet5 (Acurácia)
1	59.30%	47.37%
2	62.00%	46.94%
3	58.42%	48.35%
Média	59.91%	47.55%

Observa-se que o modelo baseado nas Features Manuais obteve consistentemente um melhor desempenho (média de ~59.9%) em comparação com os Embeddings (média de ~47.5%). Isto sugere que, para este dataset específico e classificador (kNN), as características de engenharia clássica capturaram melhor os padrões discriminantes do que o modelo de Transfer Learning sem ajuste fino (fine-tuning).

4. Análise da Matriz de Confusão

A análise detalhada da Matriz de Confusão referente à última execução com Features Manuais permite identificar as principais fontes de erro do classificador:

- Distinção Estática vs. Dinâmica: O modelo apresenta um excelente desempenho na identificação de atividades estáticas. A Atividade 1 (Stand - índice 0) foi classificada corretamente em 792 instâncias, com pouca confusão com outras classes.
- O Problema do "Talk" (Falar): As maiores taxas de erro ocorrem entre atividades que diferem apenas pela ação de falar:
 - Walk (4) vs. Walk and Talk (5): Existe uma forte confusão mútua. Por exemplo, 341 segmentos de Walk (índice 3) foram incorretamente classificados como Walk and Talk (índice 4), e 318 segmentos de Walk and Talk foram classificados como Walk.
 - Climb Stairs (6) vs. Climb Stairs and Talk (7): Um padrão semelhante observa-se nas escadas (índices 5 e 6), onde o modelo tem dificuldade em separar as duas variantes.

Isto indica que as features extraídas dos sensores inerciais (acelerômetro e giroscópio) não são suficientemente sensíveis às vibrações ou alterações biomecânicas sutis provocadas pela fala durante o movimento.

5. Validação Estatística (Teste de Hipótese)

Para validar se a superioridade das Features Manuais é estatisticamente significativa, realizou-se um T-Test comparando as médias das acurácia das 3 repetições.

- Média Modelo A (Features): 0.5991
- Média Modelo B (Embeddings): 0.4755
- P-value: $0.01356 (1.35 \times 10^{-2})$.

Como o valor de p (0.0135) é inferior ao nível de significância padrão de 0.05, rejeita-se a hipótese nula. Conclui-se que existe uma diferença estatisticamente significativa entre os desempenhos, confirmado que a abordagem de engenharia de características manual produziu resultados superiores aos embeddings neste cenário experimental.

6.Deployment

Em resposta ao requisito final do projeto, foi desenvolvida uma função de deployment ("chave-na-mão") capaz de receber dados brutos de um novo segmento e devolver a atividade correspondente. Com base nos resultados da avaliação (Secção 5), onde o modelo treinado com Features Manuais demonstrou superioridade estatística (59.91% de acurácia média), este foi o sistema selecionado para a implementação final.

6.1. Arquitetura do Sistema

O sistema final encapsula todo o processamento desenvolvido nos Módulos A e B numa única pipeline sequencial. A função `deploy_system()` recebe como entrada um array NumPy com a forma (256, 9), correspondente a um segmento de aproximadamente 5 segundos de dados brutos (Aceleração, Giroscópio e Magnetómetro nos eixos X, Y, Z).

O fluxo de processamento é constituído por quatro etapas fundamentais:

1. **Entrada de Dados:** Receção do segmento cru.
2. **Extração de Features:** Cálculo dos módulos vetoriais e extração das 138 características estatísticas (Módulo A).
3. **Normalização:** Aplicação do StandardScaler carregado (previamente ajustado com os dados de treino) para garantir a coerência das escalas.
4. **Classificação:** Inferência utilizando o classificador kNN treinado, retornando a etiqueta da atividade (1 a 7).

6.2. Demonstração e Validação com Dados Reais

Para validar o funcionamento da pipeline em cenário real, realizou-se uma simulação de utilização extraiendo um segmento aleatório de um ficheiro de dados brutos que não foi utilizado durante o treino do componente final.

Cenário de Teste:

- Ficheiro Fonte: `part1dev1.csv` (Dados brutos do participante 1).
- Segmento Alvo: Foi isolado um segmento de 256 amostras correspondente à Atividade 4 (Walking).
- Intervalo de Extração: Linhas 17600 a 17850 do ficheiro original.

Resultados da Execução: Os dados brutos foram submetidos à função `deploy_system()`, obtendo-se o seguinte resultado de consola:

```
[LOG] A procurar ficheiro raw (CSV)...  
[LOG] Ficheiro: part1dev1.csv  
[LOG] Segmento extraído: Linhas 17600 a 17850  
[LOG] A executar deploy_system()...
```

RESULTADO DO SISTEMA: Walking (4)

ATIVIDADE REAL: Walking (4)

>> SUCESSO! A previsão está correta.

Análise: O teste foi bem-sucedido. O sistema conseguiu:

1. Ingerir a matriz de dados brutos sem erros.
2. Transformar corretamente os sinais em features.
3. Classificar a atividade dinâmica "Walking" corretamente, distinguindo-a de outras atividades de marcha ou estáticas.

Este resultado confirma que a integração entre o pré-processamento (scaler, extrator) e o modelo de Machine Learning está funcional e pronta para classificar novos dados.

CONCLUSÃO

O presente trabalho permitiu o desenvolvimento e validação de uma pipeline completa de Engenharia de Características e Aprendizagem Computacional para o reconhecimento de atividades humanas (HAR), utilizando o dataset FORTH-TRACE. O projeto percorreu todo o ciclo de vida de um sistema de Ciência de Dados, desde a ingestão e limpeza de dados brutos de sensores inerciais até à implementação de um modelo preditivo funcional.

Na primeira fase (Módulo A), a análise exploratória evidenciou que atividades dinâmicas, como Walk e Climb Stairs, possuem uma variabilidade intrínseca elevada, resultando numa densidade de outliers superior quando analisada por métodos univariados (IQR e Z-Score) e multivariados (K-Means). A extração de características no domínio do tempo e da frequência gerou um espaço de representação rico, onde a seleção de atributos via ReliefF se mostrou mais robusta do que o Fisher Score ao considerar as interações entre variáveis.

Na segunda fase (Módulo B), focada na classificação supervisionada (atividades 1 a 7), a aplicação da técnica SMOTE foi fundamental para corrigir o desequilíbrio severo entre classes (ex: 5547 amostras de Stand vs. 1623 de Climb Stair and Talk). A avaliação experimental, realizada sob uma rigorosa estratégia de validação intersujeitos (Between-Subjects), conduziu a uma conclusão importante: para este cenário específico e utilizando um classificador kNN, as Features Manuais (estatísticas clássicas) superaram estatisticamente as representações de Deep Learning (embeddings do modelo harnet5). O modelo baseado em features manuais atingiu uma acurácia média de 59.91%, contra apenas 47.55% dos embeddings.

A análise detalhada dos erros revelou a principal limitação do sistema: a incapacidade dos sensores de movimento (acelerómetro e giroscópio) em distinguir eficazmente atividades que diferem apenas pela ação de falar (ex: forte confusão entre Walk e Walk and Talk). Conclui-se que a componente vocal não introduz alterações biomecânicas ou vibrações no pulso/tornozelo suficientes para serem captadas por este conjunto de features.

Por fim, a implementação do módulo de Deployment demonstrou com sucesso a capacidade do sistema em processar dados brutos desconhecidos em tempo real, validando a arquitetura proposta. Para trabalhos futuros, sugere-se a inclusão de sensores acústicos para mitigar a ambiguidade das atividades com fala, bem como a exploração de técnicas de Fine-Tuning nos modelos de Deep Learning para adaptar melhor os embeddings a este domínio específico.

REFERÊNCIAS

K. Karagiannaki, A. Panousopoulou, and P. Tsakalides, "A Benchmark Study on Feature Selection for Human Activity Recognition," in UBICOMP/ISWC '16, 2016. Disponível em: <https://dl.acm.org/doi/pdf/10.1145/2968219.2971421>

J. du Prel, B. Röhrig, G. Hommel, and M. Blettner, "Choosing Statistical Tests," Deutsches Arzteblatt, vol. 107, no. 19, 2010. Disponível em: <https://www.ncbi.nlm.nih.gov/pmc/articles/PMC2881615/>

M. Zhang and A. A. Sawchuk, "A feature selection-based framework for human activity recognition using wearable multimodal sensors," in BodyNets '11: Proceedings of the 6th International Conference on Body Area Networks, Nov. 2011, pp. 92–98. Disponível em: <https://pdfs.semanticscholar.org/8522/ce2bfce1ab65b133e411350478183e79fae7.pdf>

V. Delvaux, "SSL-Wearables Project: Self-Supervised Learning for Wearables," GitHub Repository. Disponível em: <https://github.com/OxWearables/ssl-wearables>

A. H. Nelson et al., "Self-supervised learning for human activity recognition using wearable sensors," Nature Digital Medicine, 2024. Disponível em: <https://www.nature.com/articles/s41746-024-01062-3>

Scikit-learn Developers, "sklearn.cluster.DBSCAN," Scikit-learn Documentation. Disponível em: <https://scikit-learn.org/stable/modules/generated/sklearn.cluster.DBSCAN.html>

Scikit-learn Developers, "sklearn.neighbors.KNeighborsClassifier," Scikit-learn Documentation. Disponível em: <https://scikit-learn.org/stable/modules/generated/sklearn.neighbors.KNeighborsClassifier.html>

Documentation of Python CSV Library. Disponível em: <https://docs.python.org/3/library/csv.html>

"An easy introduction to 3D plotting with Matplotlib," Medium. Disponível em: <https://medium.com/data-science/an-easy-introduction-to-3d-plotting-with-matplotlib-801561999725>